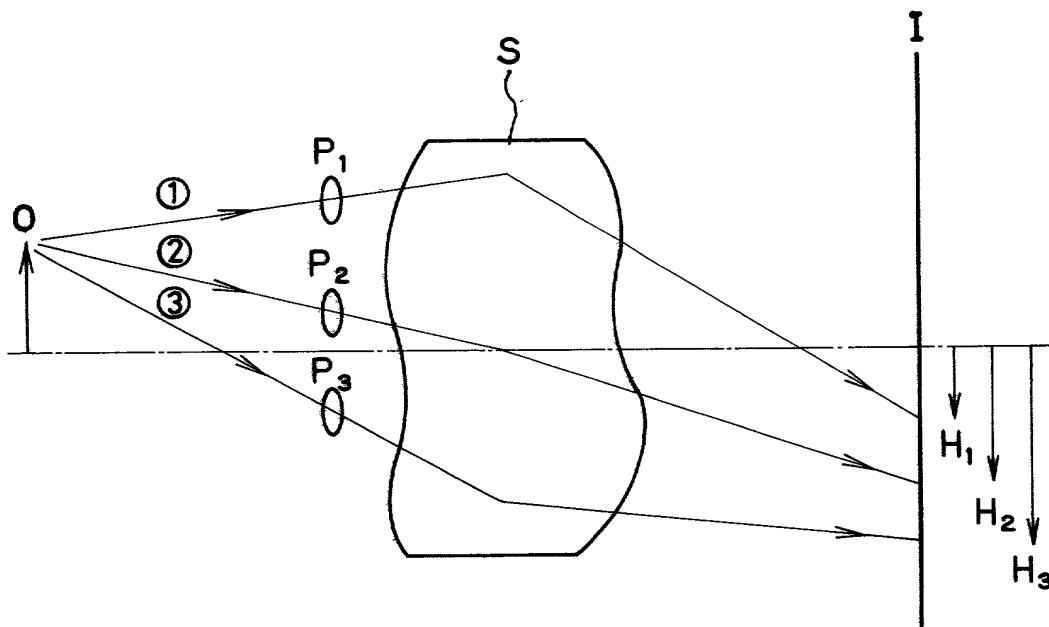


FIG. 1



2002-02-27-0001

FIG. 2(a)

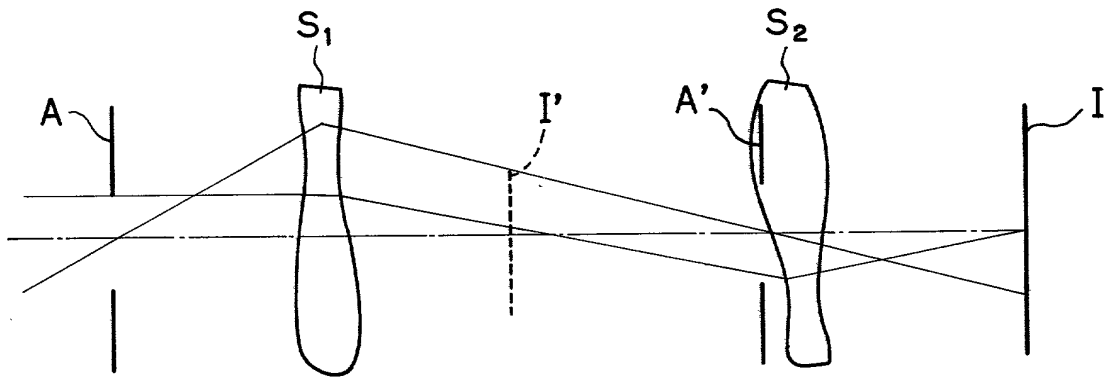


FIG. 2(b)

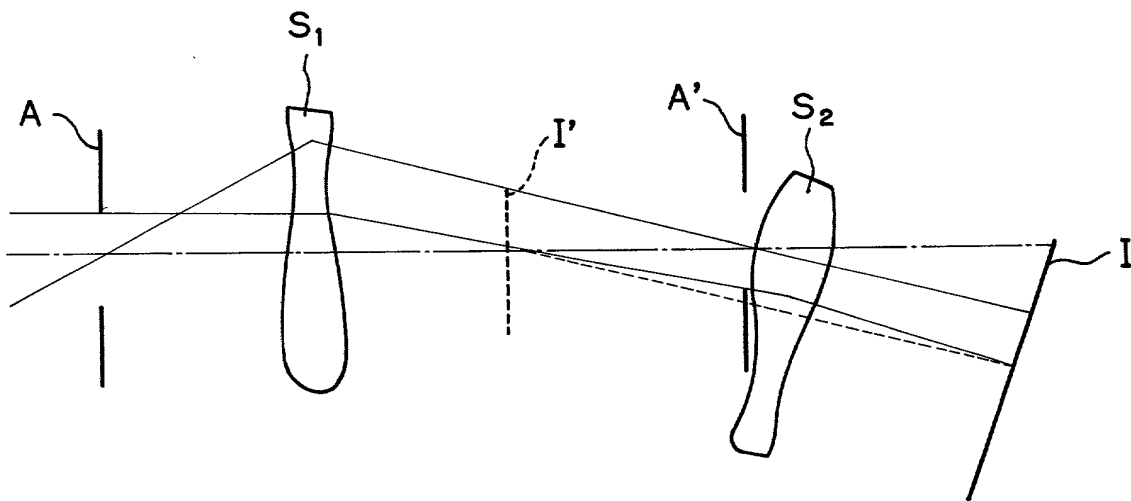


FIG. 3(a)

FIG. 3(b)

FIG. 3(c)

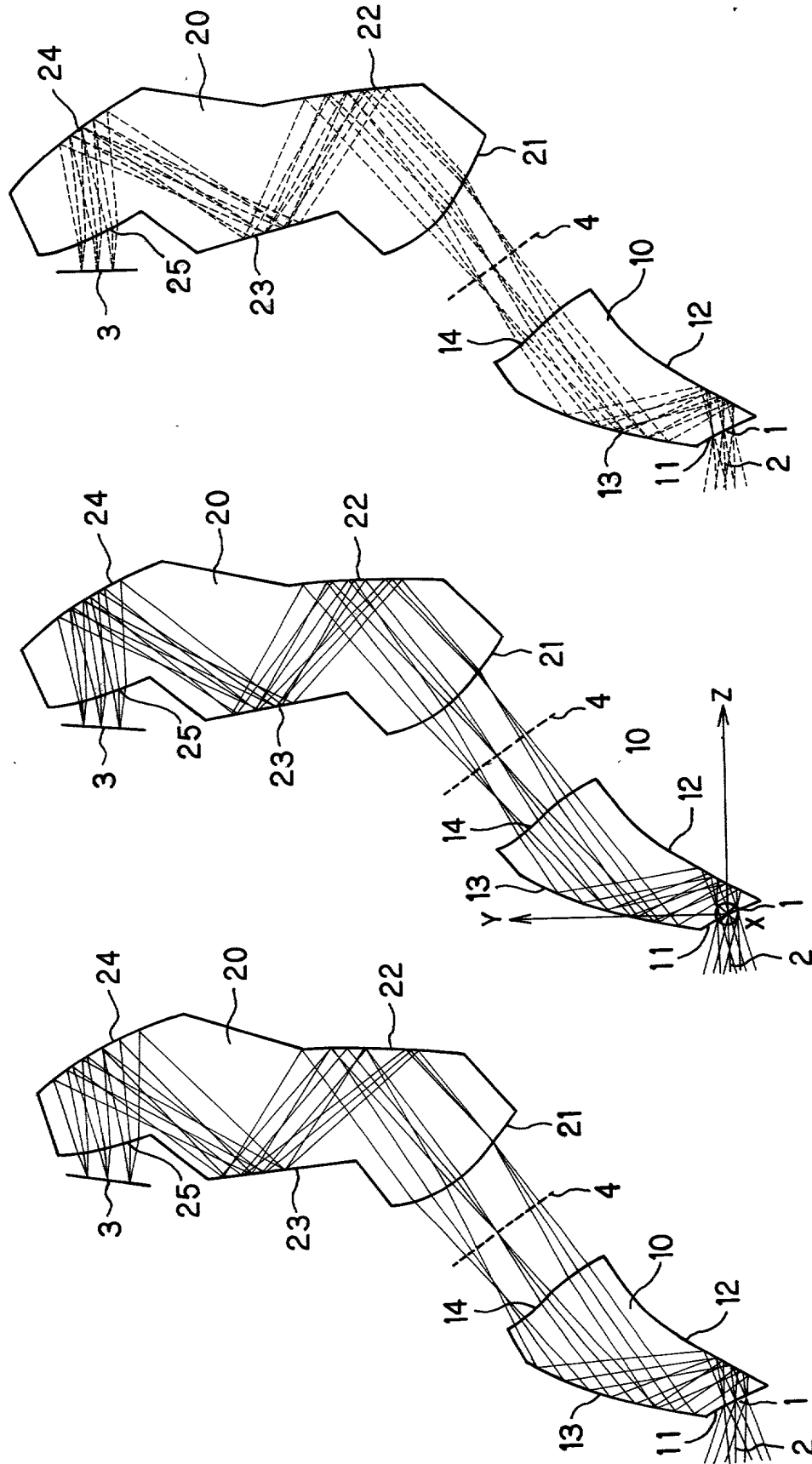


FIG. 4(a)

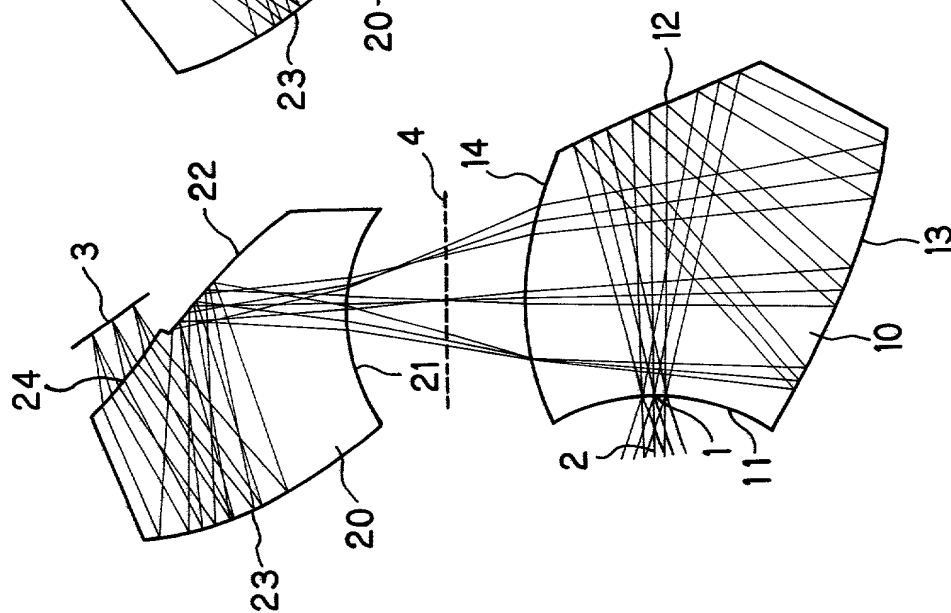


FIG. 4(b)

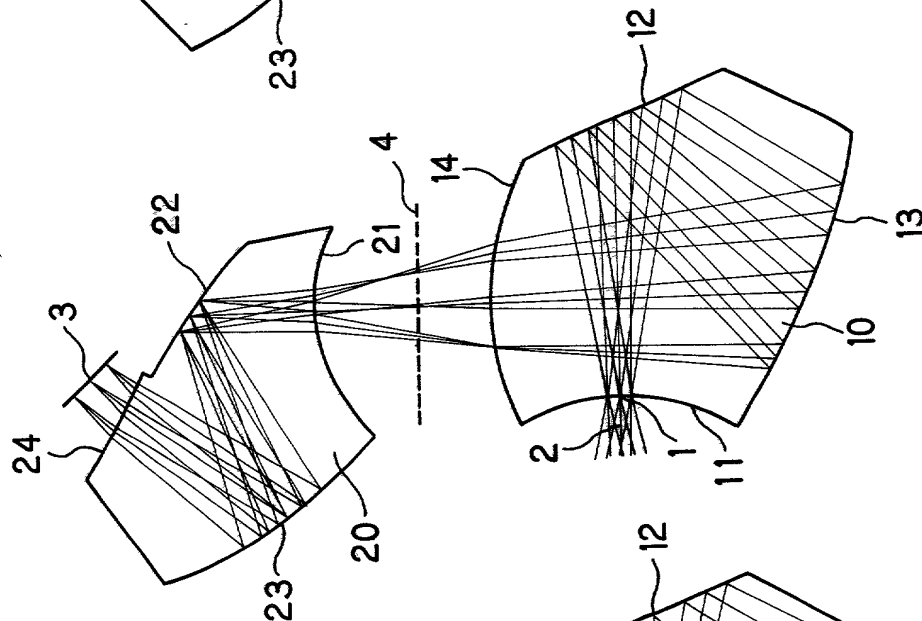


FIG. 4(c)

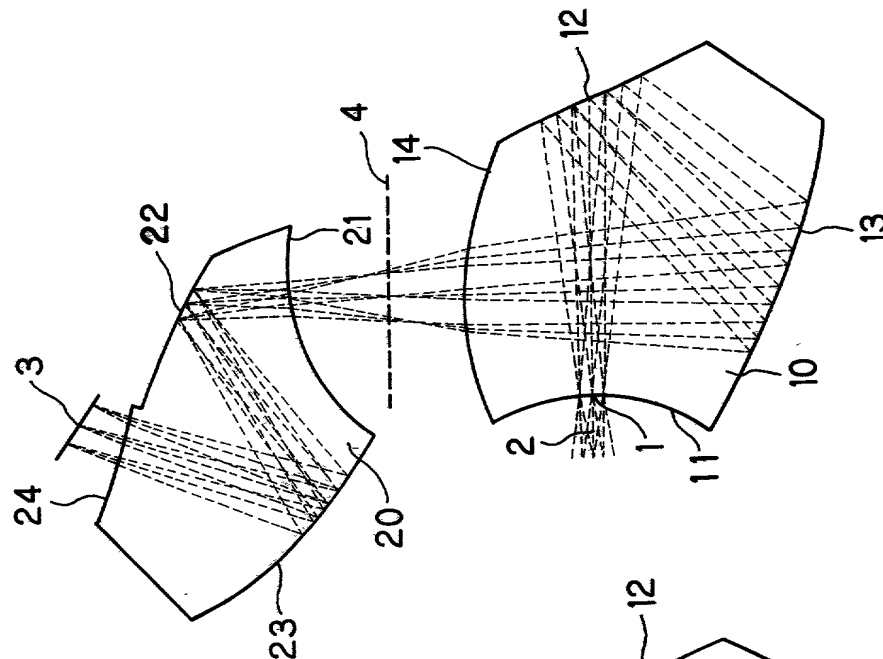


FIG. 5(c)

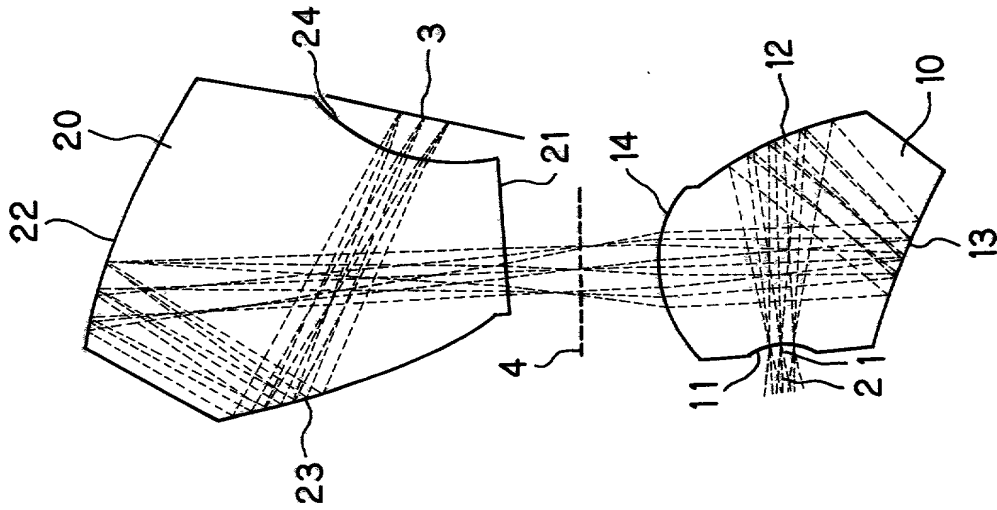


FIG. 5(c)

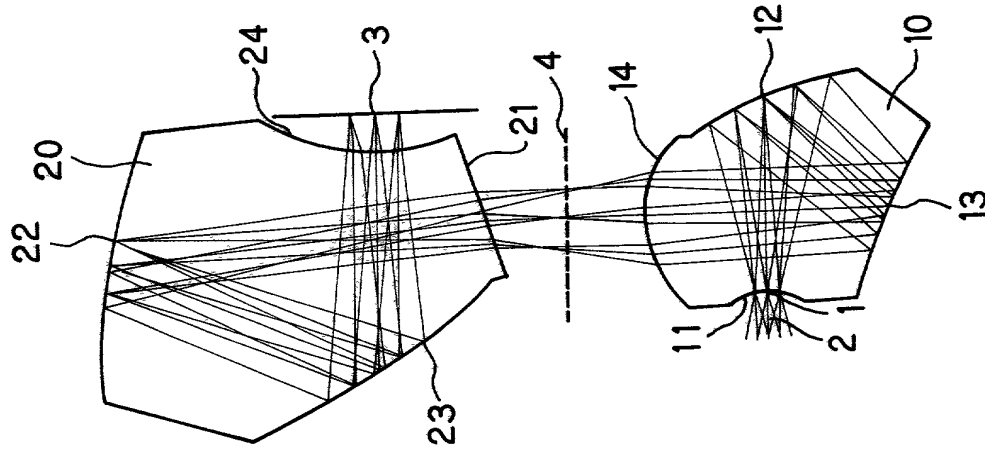


FIG. 5(c)

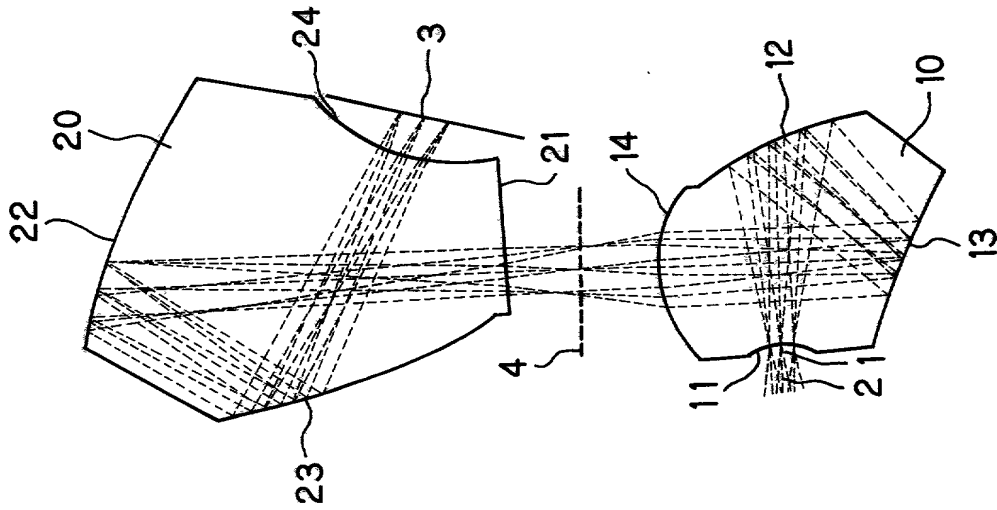


FIG. 6(c)

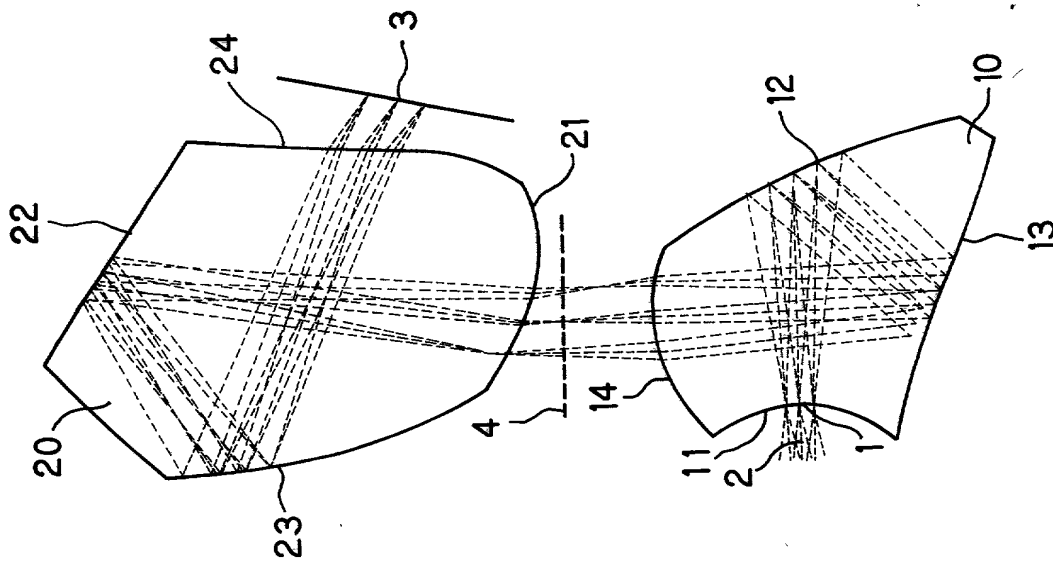


FIG. 6(b)

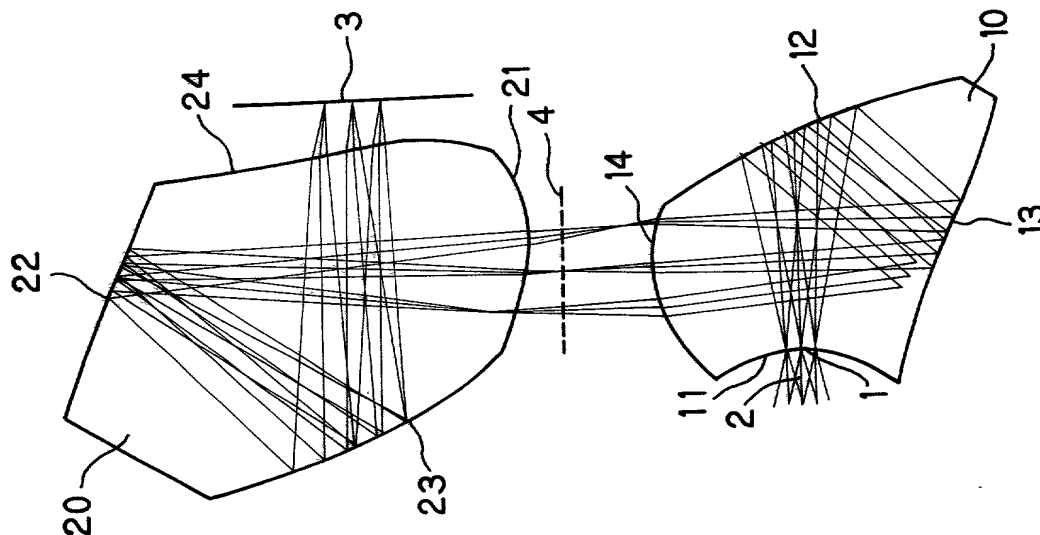
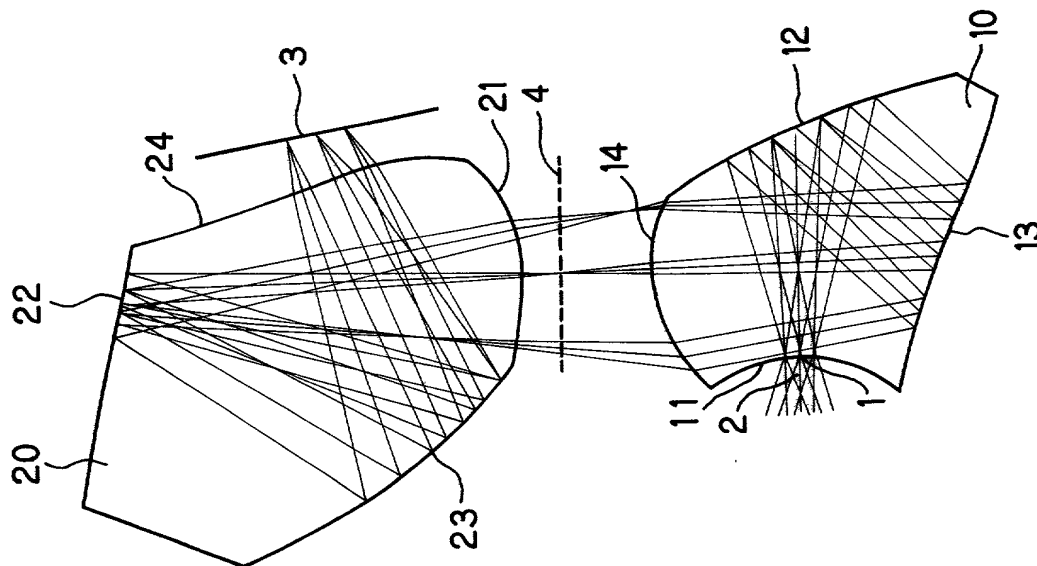


FIG. 6(a)



202220" B29E900T

FIG. 7(a)

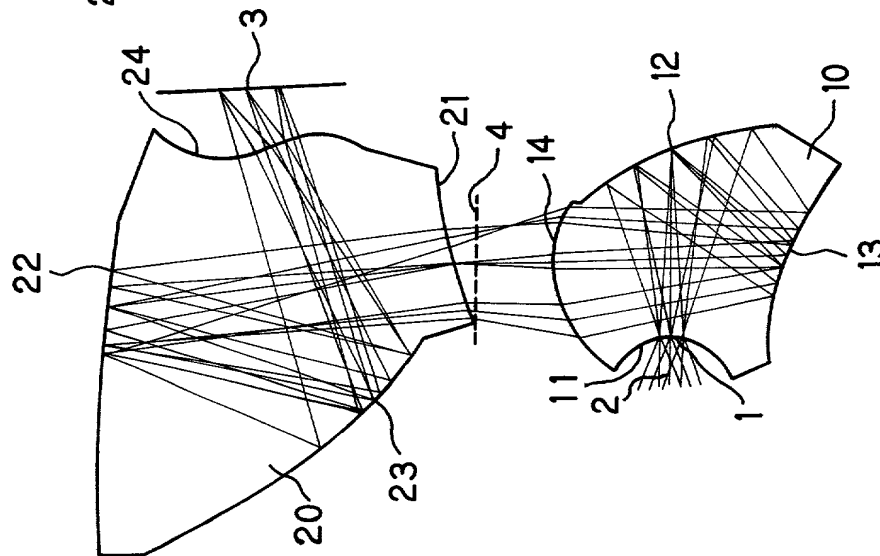


FIG. 7(b)

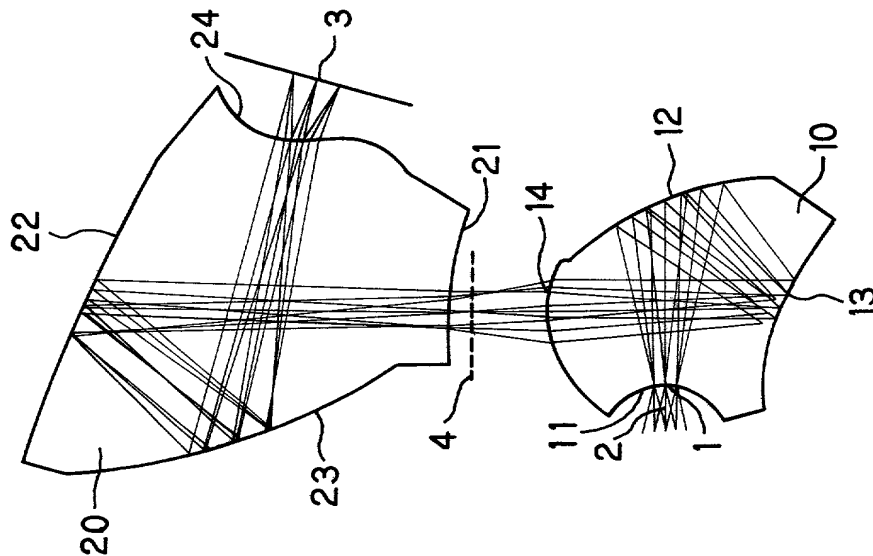
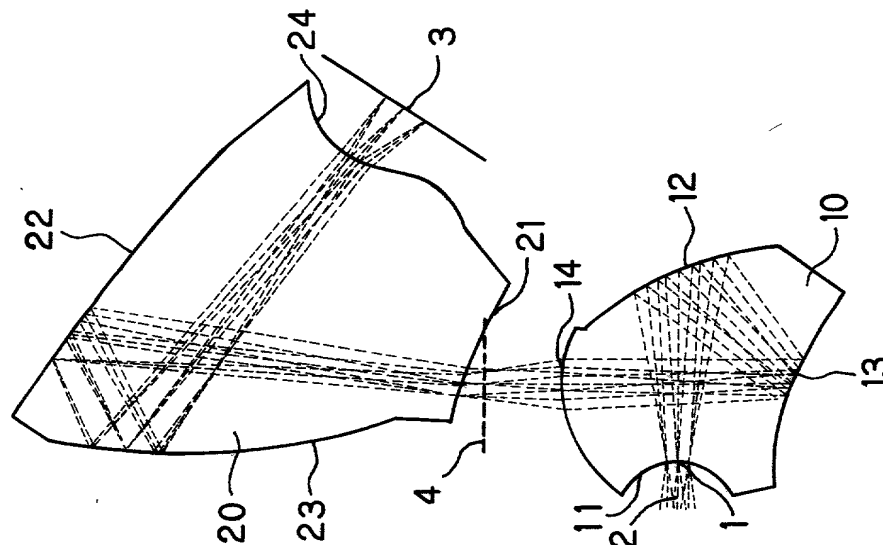


FIG. 7(c)



202223-82662004

FIG. 8

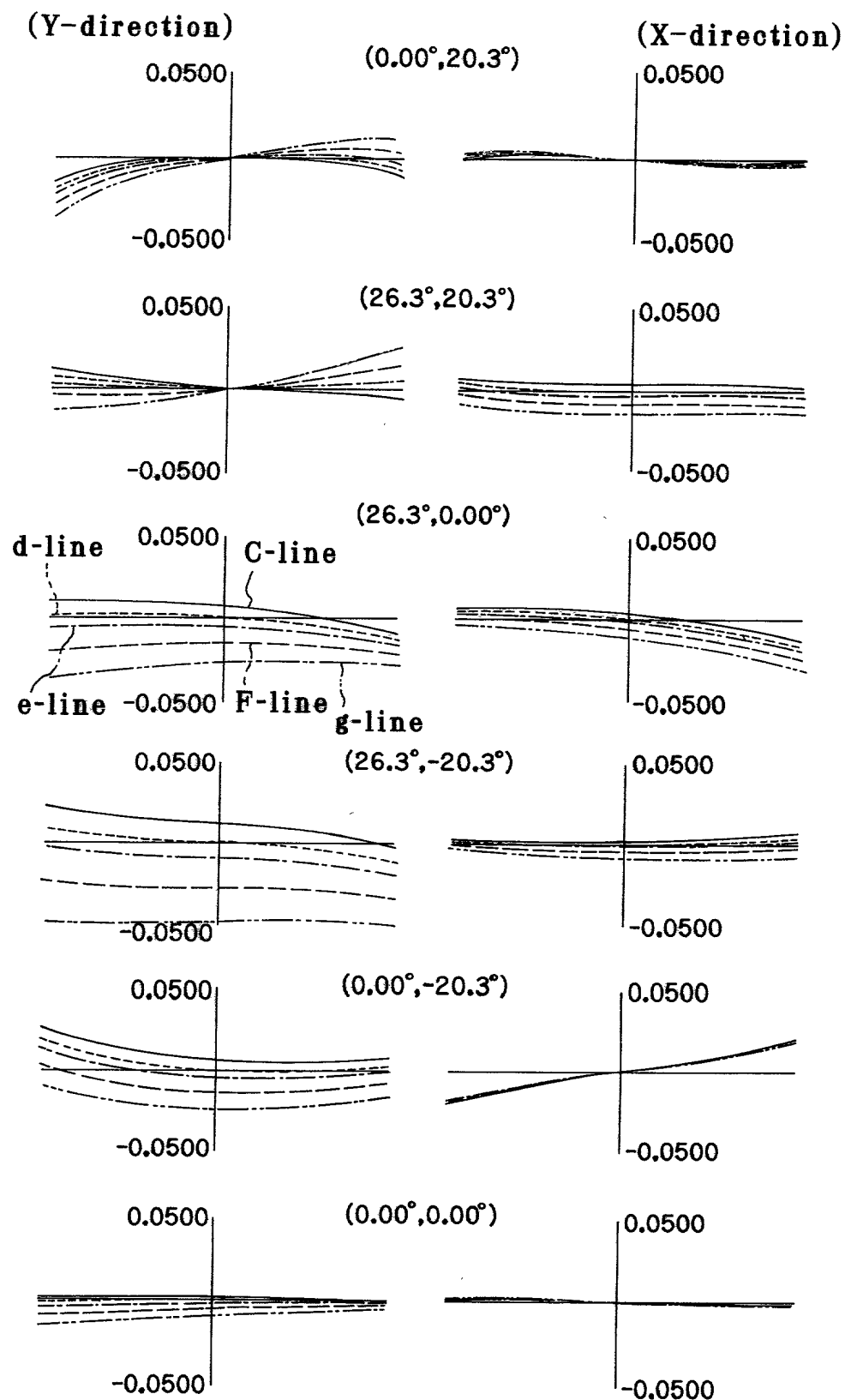


FIG. 9

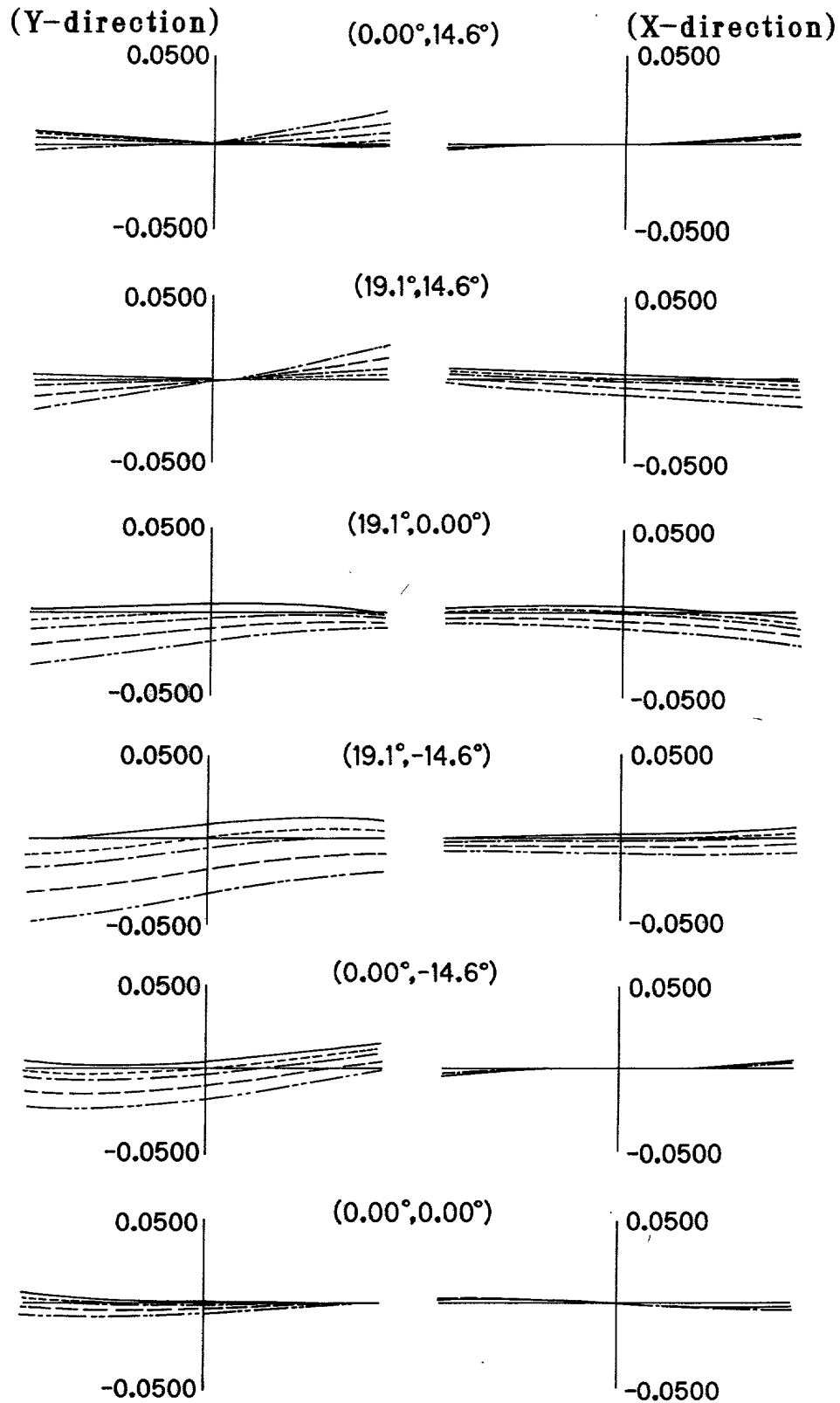
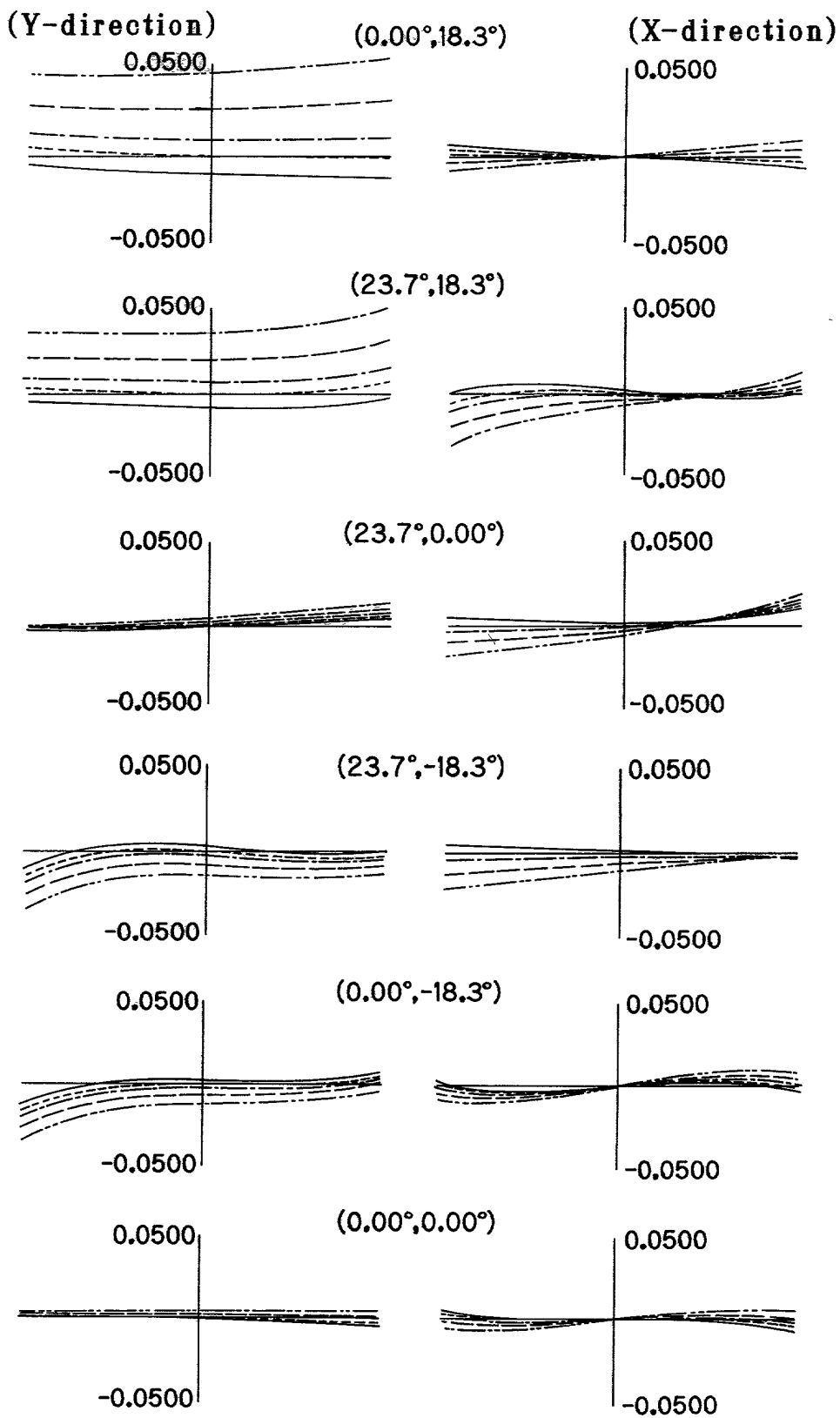
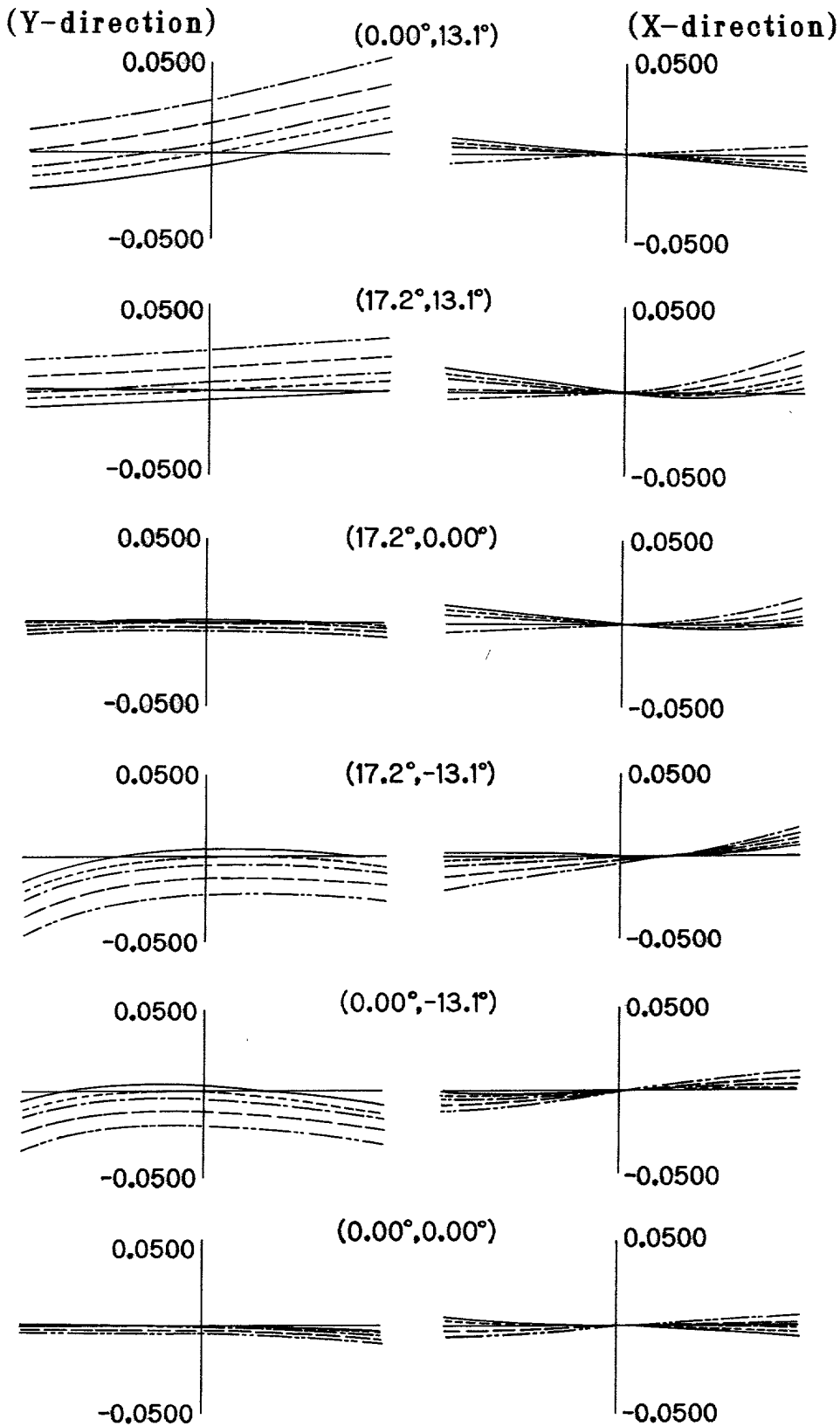


FIG. 11



2002-02-27 09:00:00

FIG. 12



2002-02-27 13:22:00

FIG. 14

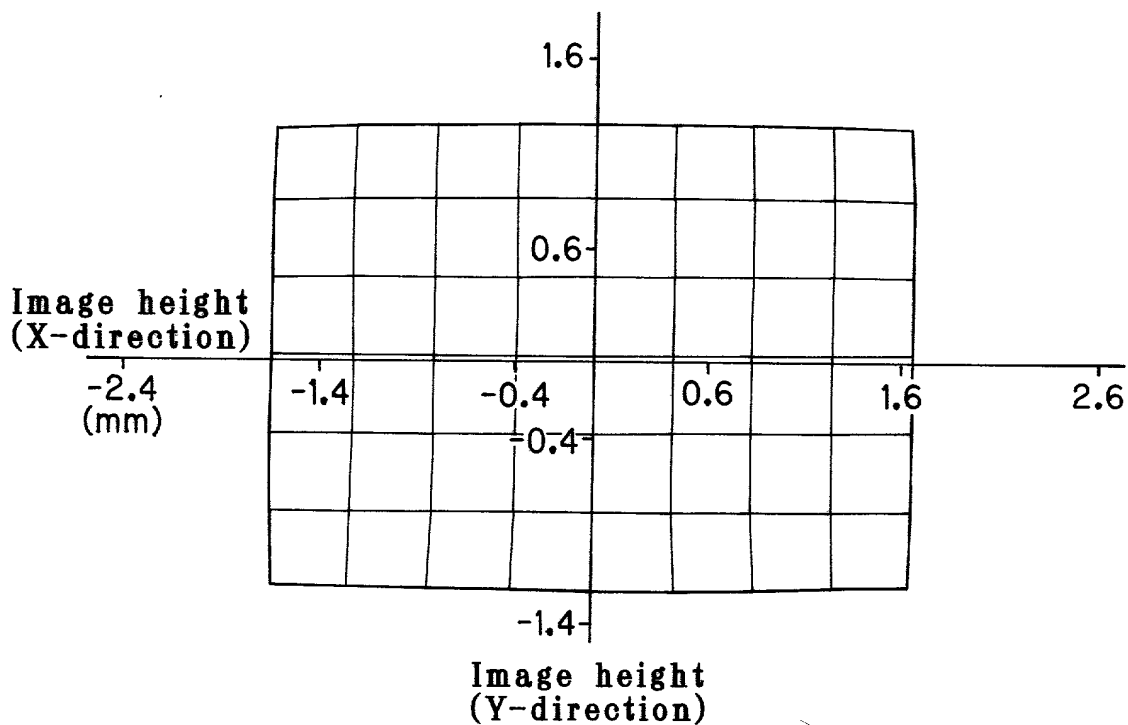


FIG. 15

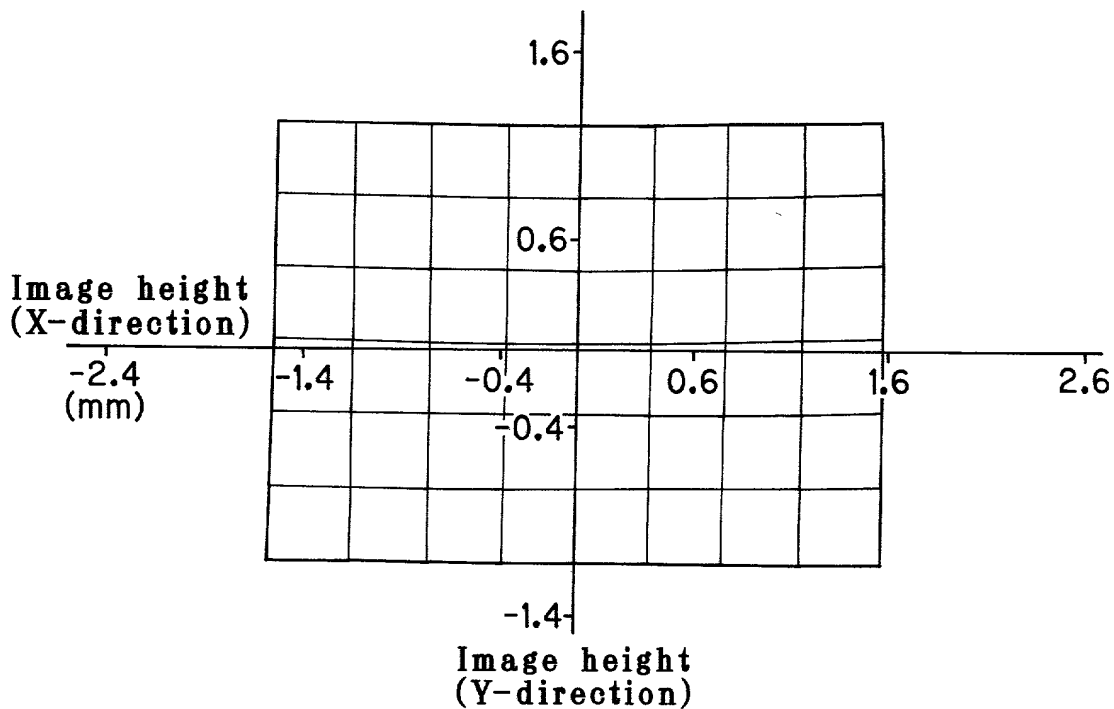


FIG. 16

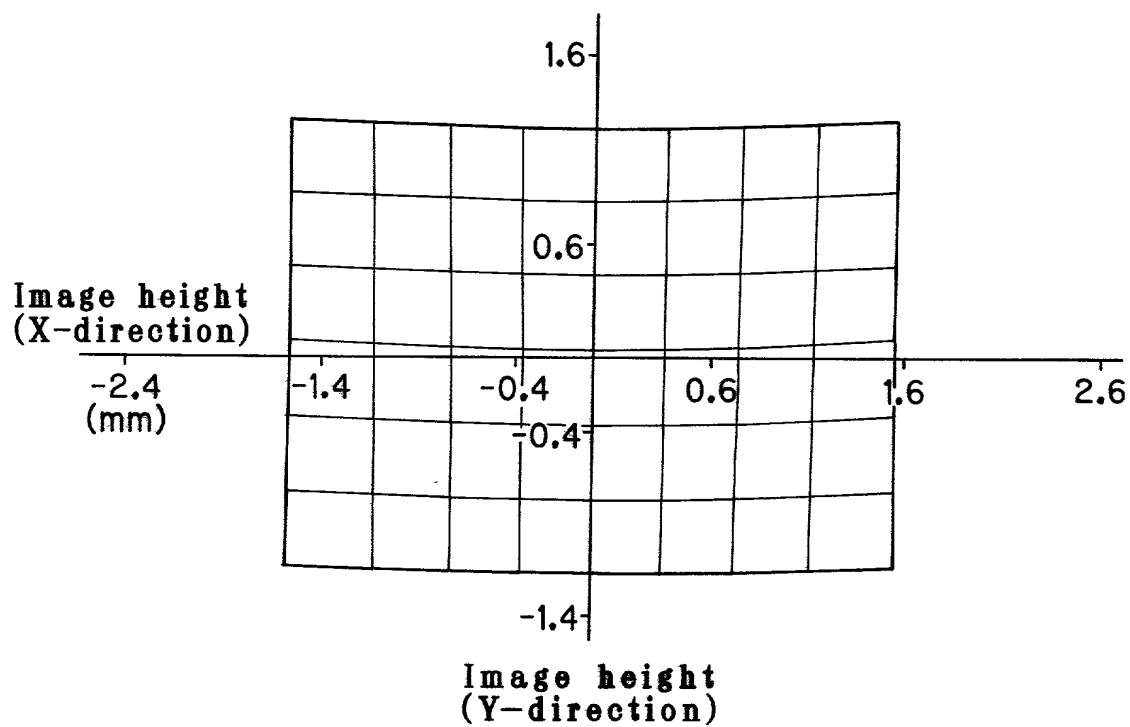


FIG. 17(b)

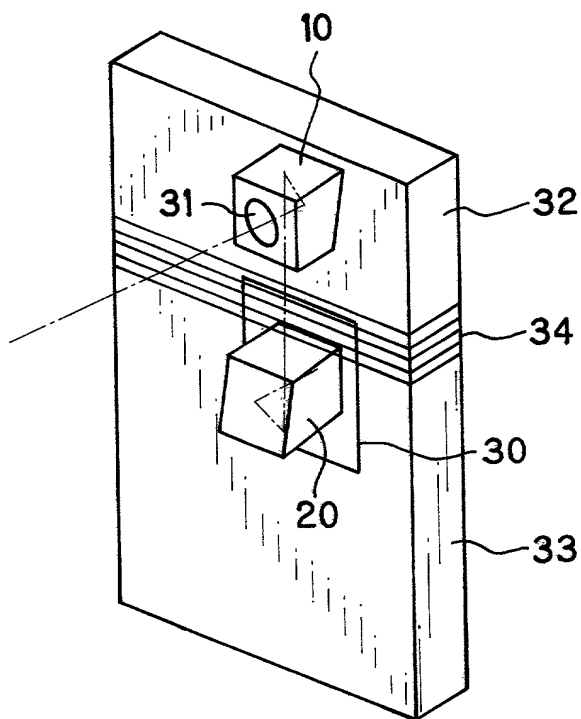


FIG. 17(c)

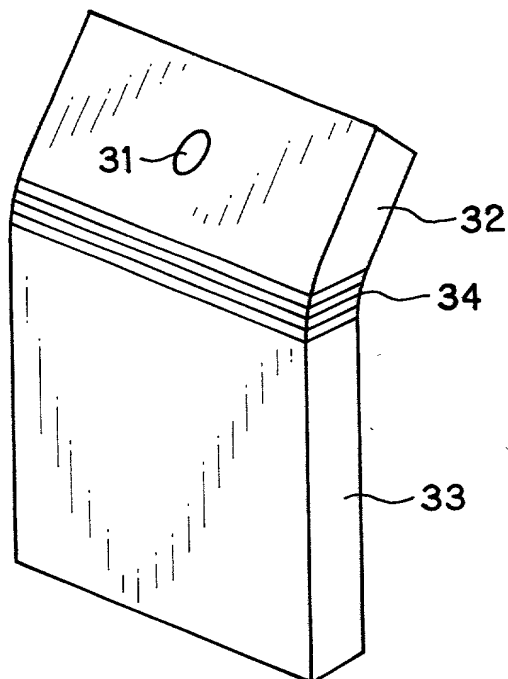


FIG. 17(a)

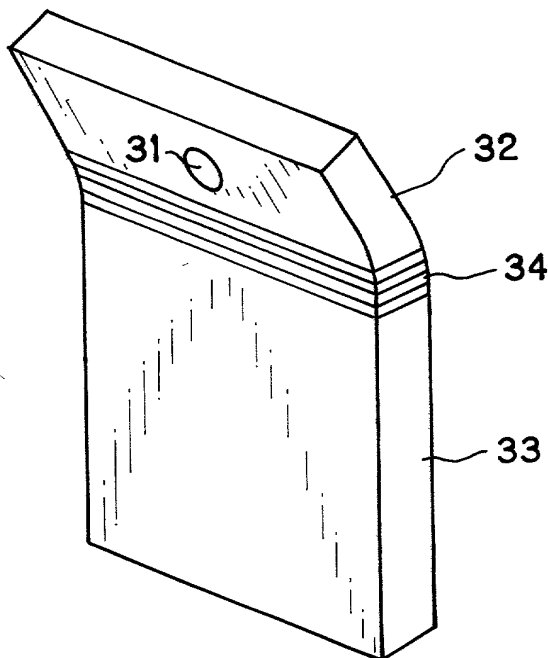


FIG. 18(b) FIG. 18(a) FIG. 18(c)

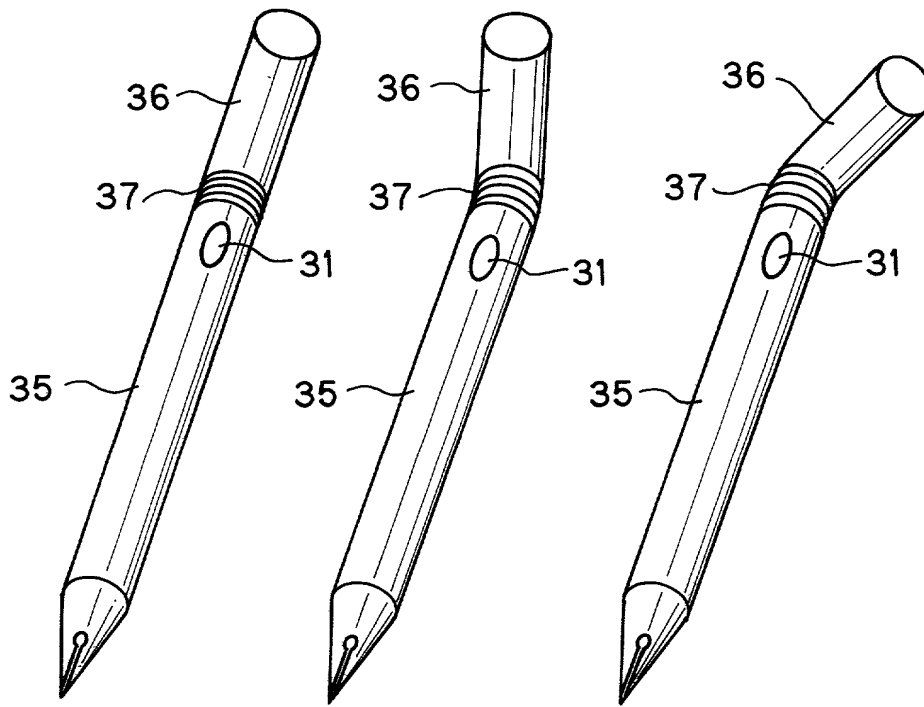


FIG. 18(d)

FIG. 18(e)

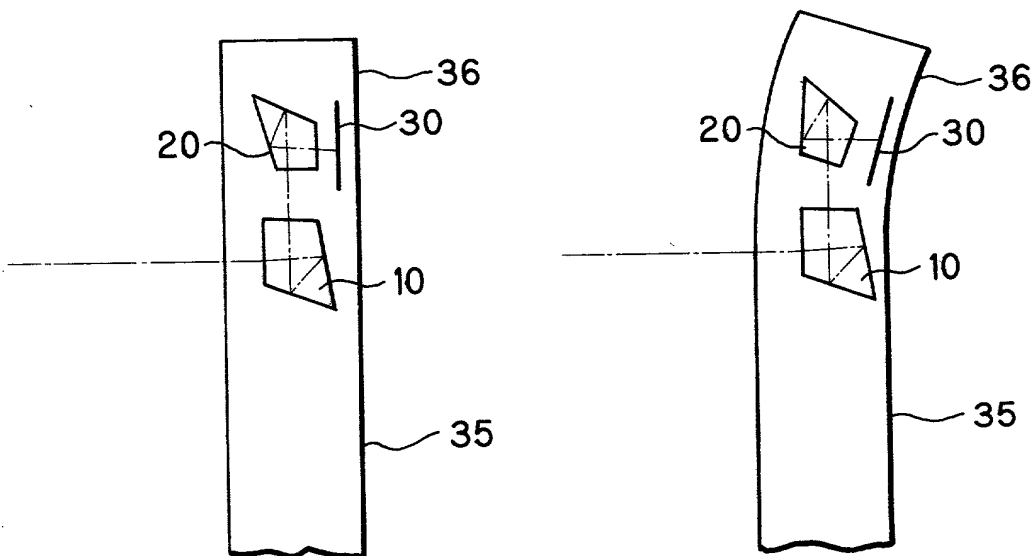


FIG. 19

